

立命館大学大学院 学生員○田中耕司
 立命館大学大学院 学生員 村高芳樹
 立命館大学理工学部 正員 大同淳之

1. まえがき

現地河川の測定された不規則な大きさ、配置を持つ岩の抵抗係数を模型実験で求めるにあたり、半球形の粗度と、半球形と水衝面積が等しい板および角形粗度について抵抗係数を測定して、その機構を考察した。

2. 用いた粗度の形状とその抵抗

図1に示す現場の石と分布形は等しく、その大きさが1/100である半球粗度、半球粗度と流れに直角な方向な水衝面積の等しく、平面的分布は統計的に等しい板粗度及び角形粗度について、抵抗係数を測定した結果は、図2に示すとおりである。形状および粗度天端の摩擦の影響を求めようとしたが、粗度の不規則性が大きく、必ずしもその差は明かでない。

3. 抵抗の水理学的性質

抵抗の線形性を仮定するとき、単位面積に作用するせん断抵抗は次式によって表す。

$$\tau_z = \tau_e(1-\beta) + (\tau_k + \tau_{kz})\beta + \tau_w\beta \quad (1)$$

ここに、 τ_e : 河床の砂面の抵抗、 τ_k : 突起した岩の抵抗係数、 τ_{kz} : 突起した岩の頂部の摩擦係数、 τ_w : 突起物背後に発生する波による抵抗、 β の値: 突起物が後流を含めて単位面積中に占める割合である。 τ_w はここで扱って分り難い領域では省略できるとし、 τ_{kz} は τ_k に含ませて考えることにする。

1箇の岩の抗力 τ_{k1} は $\tau_{k1} = \rho g C_D A_D u_k^2 / 2g$ 、ここに A_D は突起した岩の流れに面する面積、 u_k は岩頂の流速を表す。単位面積 A にn箇の突起があるときは、 $u_k = \alpha u_m$ 、 α : 流速係数、 u_m : 平均流速として

$$\frac{\tau_k \beta}{A} = \rho g \alpha^2 \frac{u_k}{2g} \sum C_D \frac{A_D}{A} \beta \quad , \quad u_k = \alpha u \quad (2)$$

粗面の流速分布は、底面付近のごく薄い層内の流速、粗度の最高高さ附近までの流速がほぼ一様になる層およびその上の対数則に従う層の三つに分けて流速係数 α を求める。

$\alpha(\frac{h}{k}) = \frac{1}{E} (1 - \frac{k}{2h}) / \frac{1}{k_0} (\log \frac{h}{k} + \frac{k}{h} - 1) + \frac{1}{E} \left\{ \frac{2}{3} \left(\frac{k}{h} \right)^2 - \left(\frac{k}{h} \right) + 1 \right\}$

と表せる。式中のEは、底面層内の渦動粘性係数 ε を齊藤¹⁾にならって $\varepsilon = u_* E k_s$ と表わしたときの定数である。

一方、開水路中における突起物の抵抗係数 C_D は相対水深 h/k の関係で

$$\frac{1}{\sqrt{C_D}} = a \log \left(\frac{h}{k} \right) + b \quad (3)$$

と表される。a, bは定数で著者の測定では $a=0.3, b=1.2$ である。

これらを考慮すると摩擦係数 f は式(24)より

$$f = 4 \alpha^2 \left(\frac{h}{k} \right) \frac{1}{(a \log(h/k) + b)^2} \frac{\sum A_D}{A} \quad (4)$$

と表せる。この式によると、 f は突起物の $\sum A_D$ に比例する。従来の研究で f は、さらに k/L , I_r の関数であることから

$$f = 4 \alpha^2 \left(\frac{h}{k} \right) \frac{1}{(a \log(h/k) + b)^2} \sum \frac{A_D}{S} \frac{S}{A} \quad (5)$$

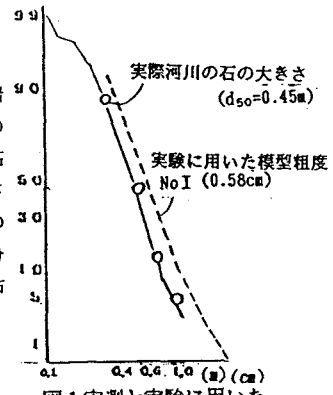


図1 実測と実験に用いた
石の大きさの比較

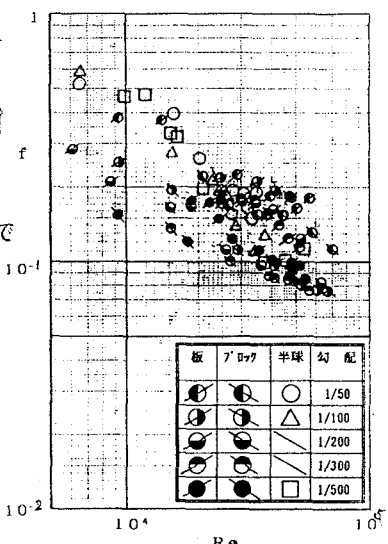


図2 抵抗係数の比較

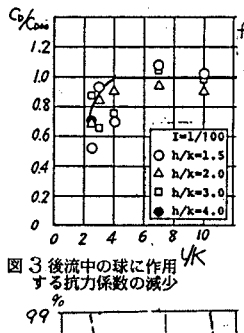


図3 後流中の球に作用する抗力係数の減少

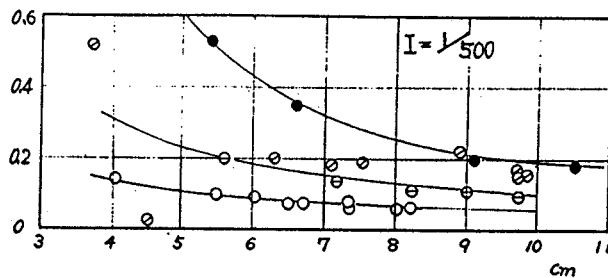
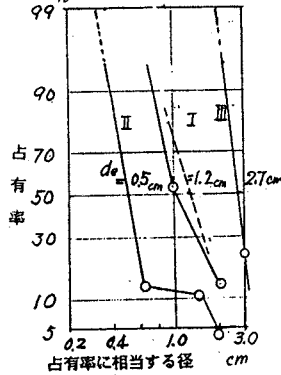
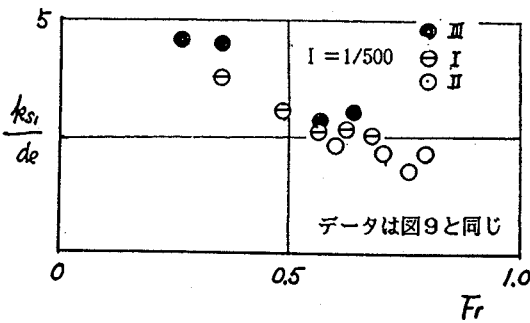
図4 抵抗係数に及ぼす $\sum a k^2$ の効果

図5 河床の占有率と粒径

図6 k_s / d_e と F_r の関係

ここに S' を岩の切口面積を除いた岩後流の遮蔽面積と書き直せる。 A_D / S' の値で、相当粗度 k_s が変化し、 f の変化となる。ただ式(5)から f を支配する A_D / S' の値を見い出すことは難しいので、式(4)によって f を支配する $\sum A_D$ に関与する特性長を見いだす。

抵抗係数 f を普遍的に表すためには、粗度係数 k_s で表すのが望ましい。さきに粗度係数を測定した3種の粗度について、同じ勾配について f と径深 R との関係を求めるとき、図3のように、同じ径深のとき、 $f : f$: f は約 $2 : 1 : 0.5$ となっている。3種の粗面の水理学的な特性長は、この比を持つと考えられる。突起する岩の後流に覆れる岩の抗力の減少を調べるために、二つの半球を並べ、後方に位置する半球の抗力の減少を抗力係数比で表したもの図4に示す。抗力の測定は、半球がおかれた床板が抗力によって微少変位するようにし、この変位を測定して、抗力を求めた。この結果は $L / k < 4$ で抗力の減少がみられる。これは、福岡ら⁴⁾が直方体、球および円錐を対象に相当粗度 k_s / h_a 、ここで h_a ：粗度高さが S' / A_D が4付近でピークを示す事実とも符合する。

図4より後流の面積は岩の切口面の3倍とし、大きな岩から順次占有面積を求め、占有律を対数確率紙上に表したもののが図5である。占有率が50%に相当する径の大きさを水理学的有効径 d_e とし、 k_s / d_e を求めた結果は図6のように3種の粗度で k_s / d_e は同じ値になり、この d_e を用いると f は同じ値が得られることを示す。

4. むすび

3. では粗さが分布形を有する場合、水理学的に有効な特性長として、突起した岩の後流の遮蔽面積をも含めた占有面積が、河床面の50%に相当する岩の大きさ d_e が有効であることを述べた。

参考文献

- 1) 齋藤、深谷；粗面薄層流れの抵抗則についての一考察、土木学会年次講演集 35 p368 昭55
- 2) 福岡ら；護岸工の水理設計、土木技術資料 vol.30 No3 1988